Motores Térmicos

8° Semestre 4° ano

Aula 29. Ciclos de Propulsão a Jacto - Tópicos

- Introdução
- Força de Impulso
- Análise Paramétrica do Ciclo De Motores Ideais
- Etapas da Análise Paramétrica do Ciclo de Motores Ideais
- Variação das Propriedades do Gás
- Desempenho dos Componentes
- Análise do Ciclo TurboJacto
- Análise do Ciclo TurboJacto com Afterburning
- ▶ Turbofan com Escoamentos de Escape Separados

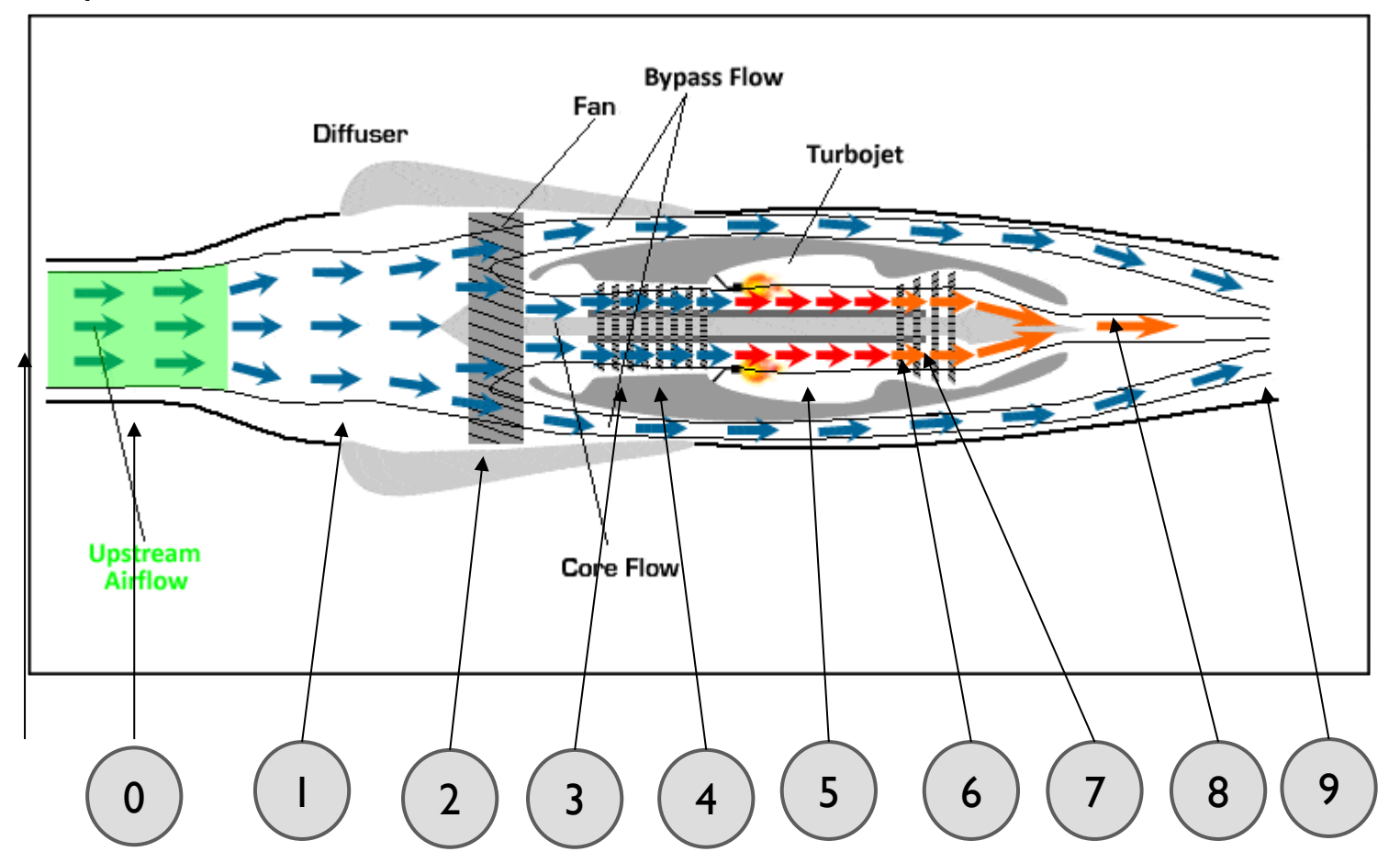
Define-se um sistema de propulsão como uma unidade submersa num fluido sobre e através do qual o fluido flui. O sistema de propulsão contém um mecanismo de transferência de energia que aumenta a energia cinética do fluido passando pelo sistema. Esse mecanismo é chamado de motor.

A segunda parte do sistema de propulsão é formada por uma estrutura. Assim, o sistema de propulsão é composto por:

- 1. Um motor (o bocal também é considerado parte do motor): e
- 2. estrutura sobre o motor (ducto).

- •0 Escoamento livre
- •1 Entrada de Ar
- •2 Ventoinha (Fan)
- •3 Compressor de Baixa Pressão
- •4 Compressor de Alta Pressão

- •5 Câmara de Combustão
- •6 Turbina de Alta Pressão
- •7 Turbina de Baixa Pressão
- •8 Bocal
- •9 Saída de Gás



Diferentes aeronaves podem usar o mesmo motor em estruturas de formas diferentes. Assim, um sistema de propulsão pode usar o motor X numa instalação, preso numa asa enquanto, noutro sistema, o motor X pode estar dentro de uma estrutura que é, de facto, a fuselagem do avião. Como exemplos apresentam-se os sistemas de propulsão do B-52 versus F-100 que usam o motor turbojacto J57.

O impulso de um sistema de propulsão depende do:

Motor; e da

Estrutura.

B-52 F-100





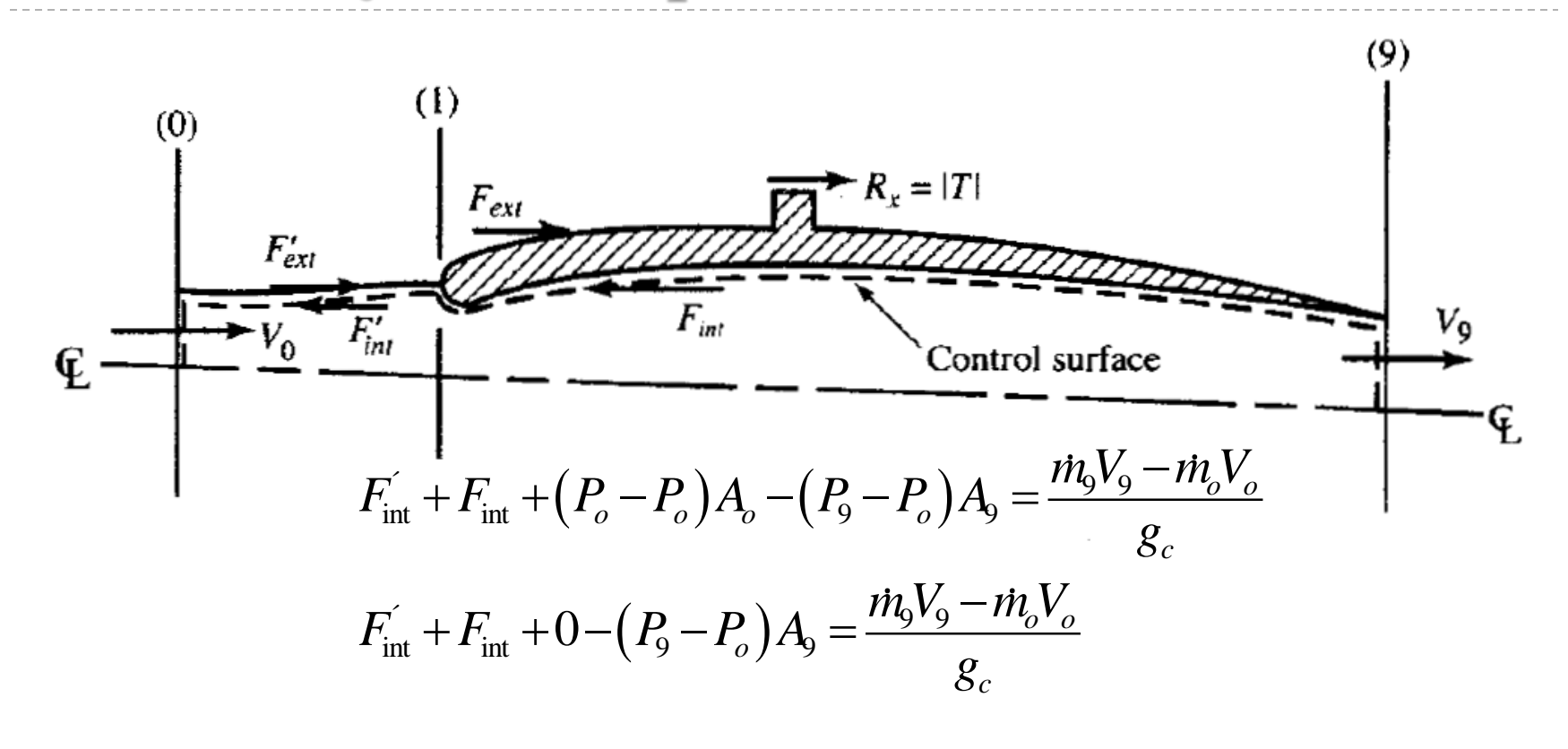
O J57 foi o primeiro motor de aeronave a ser oficialmente classificado na classe de empuxo de 44,5 kN (10.000 lb).



É convencional tratar-se dos impulsos dos mecanismos desinstalados e instalados:

- □ O impulso do mecanismo desinstalado depende apenas do motor e, portanto, deve ser independente da estrutura (fuselagem).
- □ O impulso do motor instalado é o impulso produzido pelo motor juntamente com a estrutura.

Impulso do motor instalado T é definido como a força de cisalhamento de reacção.



$$F = \frac{\dot{m}_{9}V_{9} - \dot{m}_{o}V_{o}}{g_{c}} + (P_{9} - P_{o})A_{9}$$
 (29.1)

A equação do impulso do mecanismo contém termos completamente independentes da estrutura do sistema de propulsão. Os termos \dot{m} , V_9 , A_9 e P_9 são determinados pelo motor, enquanto os termos V_o e P_o são determinados pelas condições de voo.

Para se obter o impulso do motor instalado, deve-se "subtrair" do motor desinstalado as forças de arrasto F_{ext} e F'_{ext} . O primeiro, F_{ext} , é igual em magnitude ao impulso do motor, que é creditado no impulso do mecanismo desinstalado, mas que realmente não contribui para o impulso do motor instalado. O segundo, F'_{ext} , é a força de arrasto que actua na superfície externa da estrutura.

- F _{ext} = força de pressão na superfície externa do fluxo entre os pontos 0
 e 1, que é chamada força de arrasto aditivo e
- F'_{ext} = força de pressão na superfície externa da estrutura.

No sistema contábil de forças viscosas e de pressão que actuam na estrutura da aeronave e motor, as forças viscosas na estrutura estão incluídas no arrasto da estrutura da aeronave, e as forças de pressão na estrutura, estão incluídas no impulso do motor instalado.

O impulso do motor instalado T é então:

Força de cisalhamento no suporte =
$$T = F_{int} - F_{ext}$$

= $F_{int} - F_{int} - (F_{ext} + F_{ext})$ (29.2)

Onde $F_{ext} + F'_{ext}$ são chamadas de arrasto D e, como atrás, a $F_{int} + F'_{int}$ é chamado de impulso do mecanismo desinstalado F. Usando essa notação, tem-se que:

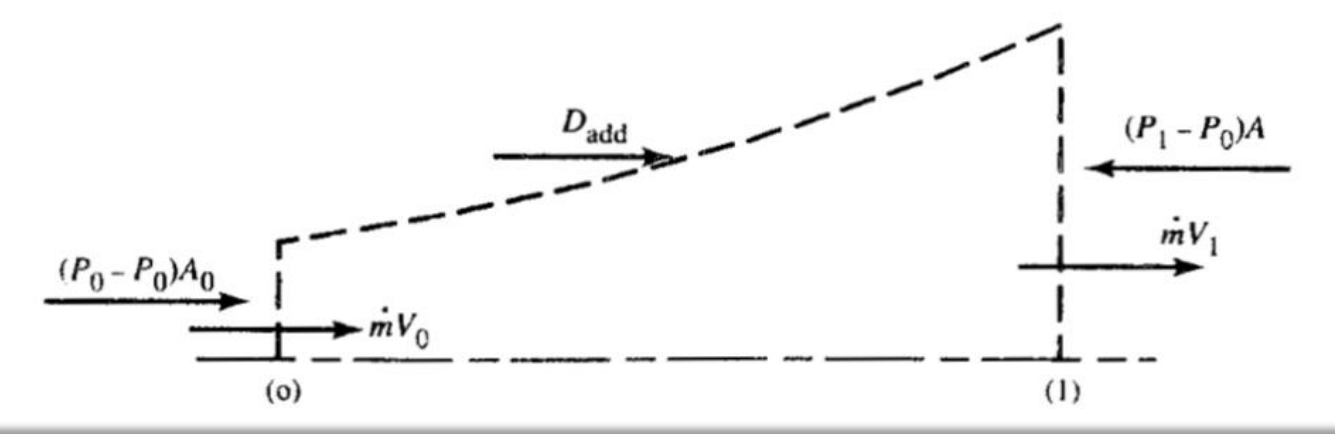
Impulso do motor instalado
$$T = T - D$$
 (29.3)

As duas forças F_{ext} e F'_{ext} que compõem o arrasto D são chamadas de arrasto de estrutura D_{nac} e de arrasto aditivo D_{add} , respectivamente. Assim, a força de arrasto pode ser escrita como:

$$D = D_{nac} + D_{add} \tag{29.4}$$

Ao calcular a força da pressão no termo de arrasto, deve-se ter em conta a pressão ambiente P_o. Assim, o arrasto de pressão na superfície externa da estrutura é:

$$D_{nac} = \int_{1}^{9} (P - Po) dA_{y}$$
 (29.5)



Onde P é a pressão absoluta na superfície da estrutura dA, que tem uma componente de pressão vertical dAy. O arrasto aditivo é o arrasto de pressão no fluxo de corrente que limita o fluxo interno entre os estagios 0 e 1, ou

$$D_{add} = \int_0^1 (P - P_o) dA_y$$
 (29.6)

A aplicação da equação do momento à corrente entre os estágios 0 e 1 resulta em:

$$D_{add} = P_1 A_1 \left(1 + k M_1^2 \right) - P_o A_o \left(1 + k M_o^2 \right) - P_o \left(A_1 - A_o \right)$$
 (29.7)

ou

$$D_{add} = P_1 A_1 (1 + kM_1^2) - P_o A_o kM_o^2 - P_o A_1$$
 (29.8)

No limite, como M_o tende para zero, então $A_o M_o^2$ também tende para zero, logo a equação reduz-se a:

$$(D_{add})_{M_o=0} = P_1 A_1 (1 + k M_1^2) - P_o A_1$$
 (29.9)

A análise paramétrica do ciclo, determina o desempenho dos motores em diferentes condições de voo e a escolha dos valores dos parâmetros do projecto (por exemplo, razão da pressão do compressor) e limites dos parâmetros do projecto (por exemplo, temperatura de saída do combustor). A análise de desempenho do motor também determina o desempenho de um mecanismo específico em todas as condições de voo ou nas condições de desempenho.

A pressão total ou de estagnação **P**, é definida como a pressão atingida quando uma corrente de fluxo constante é mantida adiabática e reversivelmente (isto é, isentropicamente). Como $P_t/P = (T_t/T)^{(k-1/k)}$, então

$$P_{t} = P \left(1 + \frac{k-1}{2} M^{2} \right)^{k/(k-1)}$$
 (29.11)

A razão de pressões totais num componente será dada por π, com um índice subscrito indicando o componente: d para difusor (entrada), c para compressor, b para queimador, t para turbina, n para bocal e f para ventilador:

$$\pi_a = \frac{\text{pressão total à saída do componente } a}{\text{pressão total à entrada do componente } a}$$
(29.12)

Da mesma forma, a razão da temperatura total é denotada por τ

$$\tau_a = \frac{\text{temperatura total à saída do componente } a}{\text{temperatura total à entrada do componente } a}$$
(29.13)

Como excepção definem-se as relações de temperatura total/estática e a pressão do fluxo livre (τ_r e π_r) por:

$$\tau_r = \frac{T_{to}}{T_o} = 1 + \frac{k - 1}{2} M_o^2 \tag{29.14}$$

$$\pi_r = \frac{P_{to}}{P_o} = \left(1 + \frac{k - 1}{2} M_o^2\right)^{k/(k - 1)} \tag{29.15}$$

Assim, a temperatura total e a pressão do fluxo livre podem ser escritas como:

$$T_{to} = T_o \tau_r \qquad \qquad \text{e} \qquad \qquad P_{to} = P_o \pi_r \qquad \qquad (29.16)$$

Também, τ_a é definida como a razão entre a entalpia de saída do queimador c_pT_t e à entalpia do ambiente c_pT_o :

$$\tau_{\lambda} = \frac{h_{t \text{ saída do queimador}}}{h_{o}} = \frac{\left(c_{p}T_{t}\right)_{\text{saída do queimador}}}{\left(c_{p}T\right)_{o}}$$
(29.17)

Começando pela equação para o impulso do motor desinstalado, reescreve-se essa equação em termos das relações, pressão total e temperatura total, pressão ambiente P_o , temperatura T_o e velocidade do som a_o e o número de Mach do voo M_o da seguinte forma:

$$F = \frac{1}{g_c} \left(m_0 V_0 - m_o V_o \right) + A_9 \left(P_0 - P_o \right)$$
 (29.18)

$$\frac{F}{\dot{m}_{o}} = \frac{a_{o}}{g_{c}} \left(\frac{\dot{m}_{9}}{\dot{m}_{o}} \frac{V_{9}}{a_{o}} - M_{o} \right) + \frac{A_{9}P_{9}}{\dot{m}_{o}} \left(1 - \frac{P_{o}}{P_{9}} \right)$$
(29.19)

Em seguida, expressam-se as razões de velocidade V_9/a_0 em termos de números de Mach, temperaturas e propriedades de gás dos estágios 0 e 9:

$$\left(\frac{V_9}{a_o}\right)^2 = \frac{a_9^2 M_9^2}{a_o^2} = \frac{k_9 R_9 g_c T_9}{k_o R_o g_c T_o} M_9^2$$
(29.20)

Encontra-se o número de Mach Mo à saída de:

$$P_{t9} = P_9 \left(1 + \frac{k - 1}{2_o} M_9^2 \right)^{k/(k - 1)}$$
 (29.21)

Daí;
$$M_9^2 = \frac{2}{k-1} \left[\left(\frac{P_{t9}}{P_9} \right)^{k/(k-1)} - 1 \right]$$
(29.22)

Onde:
$$\frac{P_{t9}}{P_{9}} = \frac{P_{o}}{P_{9}} \frac{P_{to}}{P_{o}} \frac{P_{t2}}{P_{o}} \frac{P_{t3}}{P_{to}} \frac{P_{t4}}{P_{t3}} \frac{P_{t5}}{P_{t4}} \frac{P_{t5}}{P_{t5}} \frac{P_{t9}}{P_{t7}}$$

$$= \frac{P_{o}}{P_{9}} \pi_{r} \pi_{d} \pi_{c} \pi_{t} \pi_{AB} \pi_{n}$$
(29.23)

A taxa de temperaturas T_9/T_0 calcula-se de:

$$\frac{T_9}{T_o} = \frac{T_{t9}/T_o}{T_{t9}/T_9} = \frac{T_{t9}/T_o}{(P_{t9}/P_9)^{(k-1)/k}}$$
(29.24)

Onde:

$$\frac{T_{t9}}{T_o} = \frac{T_{to}}{T_o} \frac{T_{t2}}{T_{to}} \frac{T_{t3}}{T_{t2}} \frac{T_{t4}}{T_{t3}} \frac{T_{t5}}{T_{t4}} \frac{T_{t7}}{T_{t5}} \frac{T_{t9}}{T_{t7}}
= \tau_r \tau_d \tau_c \tau_t \tau_{AB} \tau_n$$
(29.25)

Aplicando-se a primeira lei da termodinâmica ao queimador (combustor) encontra-se uma expressão para a razão combustível/ar \mathbf{f} em termos de τ_s , etc:

$$\dot{m}_{o}c_{p}T_{t3} + \dot{m}_{f}h_{RP} = \dot{m}_{o}c_{p}T_{t4}$$
 (29.26)

Quando aplicável, encontra-se uma expressão para a razão de temperatura total na turbina τ_t relacionando a potência da turbina com os requisitos de potência do compressor, ventilador e/ou hélice. Isso permite encontrar τ_t em termos de outras variáveis.

Avalia-se o impulso específico, usando os resultados das expressões anteriores.

A temperatura total ou de estagnação é definida como a temperatura atingida quando um fluido que escoa em regime permanente é parado (estagnado) adiabaticamente. Se T_t for a temperatura total, T a temperatura estática (termodinâmica) e V a velocidade do fluxo, então a aplicação da primeira lei da termodinâmica a um gás caloricamente determinado fornece $T_t = T + V^2 / (2g_c c_p)$. No entanto, o número Mach $M = V/a = V/\sqrt{kg_cRT}$ pode ser introduzido na equação acima para dar: $T_t = T\left(1 + \frac{k-1}{2}M^2\right)$ (29.10)

Avalia-se o consumo específico de combustível do impulso S, usando os resultados da relação impulso específico e relação combustível ar:

$$S = \frac{f}{F/\dot{m}_o} \quad (mg/s)/N \tag{29.27}$$

Desenvolvem-se expressões para os rendimentos térmicos e propulsivos.

29.5 Variação das Propriedades do Gás

A entalpia \mathbf{h} e o calor específico à pressão constante $\mathbf{c}_{\mathbf{p}}$ para o ar (modelado como um gás perfeito) são funções da temperatura. Além disso, a entalpia h e o calor específico à pressão constante c_p para os produtos de combustão de um combustível típico hidrocarboneto JP-4 e a ar (modelados como um gás perfeito) são funções da temperatura e da razão combustível/ar f. A razão dos calores específicos k para produtos de combustão é função da temperatura e da razão combustível/ar. Observa-se que \mathbf{h} e $\mathbf{c}_{\mathbf{p}}$ aumentam e \mathbf{k} diminui com o aumento da temperatura e da razão combustível/ar. Os modelos de propriedades de gás nos motores precisam de incluir as alterações de c_p e k nos componentes em que estas são significativas.

29.5 Variação das Propriedades do Gás

Os valores de $\mathbf{c_p}$ e \mathbf{k} poderão variar no queimador. Assim, aproxima-se o $\mathbf{c_p}$ como $\mathbf{c_{pc}}$ (uma constante para o motor a montante do queimador) e $\mathbf{c_p}$ como $\mathbf{c_{pt}}$ (um valor médio constante para os gases a jusante do queimador). A libertação de energia térmica no processo de combustão afecta os valores de $\mathbf{c_{pt}}$ e $\mathbf{k_t}$, mas esses dois estão relacionados por:

$$c_{pt} = \frac{k_t}{k_t - 1} R_t = \frac{k_t}{k_t - 1} \frac{R_u}{M}$$
 (29.28)

Onde:

- $R_{\rm u}$ é a constante universal dos gases; e
- ► M é a massa molecular

29.5 Variação das Propriedades do Gás

Se a reacção química fizer com que os modos vibracionais sejam excitados, mas não causar dissociação apreciável, o peso molecular M será aproximadamente constante. Nesse caso, uma redução de k está directamente relacionada a um aumento de c_p pela fórmula:

$$\frac{c_{pt}}{c_{pc}} = \frac{k_t}{k_t - 1} \frac{k_c - 1}{k_c}$$
 (29.29)

29.6 Desempenho dos Componentes

Cada um dos componentes do motor será caracterizado por figuras que modelam o desempenho do mesmo e facilitam a análise do ciclo de motores aspirados reais. A razão de temperatura total τ , a razão de pressão total π e a inter-relação entre τ e π serão utilizadas o máximo possível na modelação de cada componente.

29.6.1 Admissão e Recuperação da Pressão no Difusor

As perdas na entrada surgem devido à presença de atrito na parede e a ondas de choque (numa entrada supersónica). Tanto o atrito da parede quanto as perdas de choque, resultam numa redução na pressão total, de modo que π_d <1. As entradas são adiabáticas com um grau de aproximação muito alto, portanto, tem-se τ_d = 1. O desempenho à entrada é definido simplesmente por π_d . O rendimento isentrópico η_d do difusor é definido como:

$$\eta_d = \frac{h_{t2s} - h_o}{h_s - h_o} \cong \frac{T_{t2s} - T_o}{T_{to} - h_o}$$
 (29.30)

Relacionando τ_d e π_d o rendimento resulta em:

$$\eta_d = \frac{\tau_{rd}^{(k-1)/k}}{\tau_r - 1} \quad (29.31)$$

29.6.1 Admissão e Recuperação da Pressão no Difusor

No voo supersónico, a desaceleração do fluxo nas entradas, é acompanhada por ondas de choque que podem produzir uma perda total de pressão muito maior do que a perda de atrito na parede. A taxa de pressão geral da entrada é o produto da taxa de pressão do aríete e da taxa de pressão do difusor. Devido a choques, apenas uma parte da pressão total do aríete pode ser recuperada. Então define-se η_{dmax} como a parcela de η_d que é devida ao atrito da parede e η_r como a parcela de π_d devida à recuperação pressão total do aríete. Portanto:

$$\pi_d = \pi_{d \max} \eta_r \tag{29.32}$$

Rendimento isentrópica do compressor

Os compressores têm um alto grau de aproximação ao funcionamento adiabático. O rendimento geral usado para medir o desempenho de um compressor é o rendimento isentrópico η_c , definido como:

$$\eta_c = \frac{\text{trabalho ideal de compressão para um dado } \pi_c}{\text{trabalho real de compressão para um dado } \pi_c}$$
(29.33)

Escrevendo o rendimento isentrópico do compressor η_c em termos das propriedades termodinâmicas, tem-se:

$$\eta_c = \frac{w_{ci}}{w_c} = \frac{h_{t3i} - h_{t2}}{h_{t3} - h_{t2}} \tag{29.34}$$

Rendimento isentrópico do compressor

Para um gás caloricamente perfeito, pode-se escrever:

$$\eta_c = \frac{w_{ci}}{w_c} = \frac{c_p \left(T_{t3i} - T_{t2} \right)}{c_p \left(T_{t3} - T_{t2} \right)} = \frac{\tau_{ci} - 1}{\tau_c - 1}$$
(29.35)

Onde τ_{ci} é a razão ideal de temperaturas do compressor que está relacionada com a razão de pressão do compressor π_c pela relação isentrópica:

$$\tau_{ci} = \pi_{ci}^{(k-1)/k} = \pi_{c}^{(k-1)/k} \tag{29.36}$$

Daqui tem-se:

$$\eta_c = \frac{\pi_c^{(k-1)/k} - 1}{\tau_c - 1} \tag{29.37}$$

Rendimento do estágio do compressor

Para um compressor de vários estágios, cada estágio (conjunto de rotor e estator) terá um rendimento isentrópico. Seja η_{sj} o rendimento isentrópico do j-ésimo estágio. Da mesma forma, π_{sj} e τ_{sj} representam as razões de pressão e temperatura, respectivamente, para o j-ésimo estágio. Então pode-se escrever para o j-ésimo estágio:

$$\eta_{sj} = \frac{\pi_{sj}^{(k-1)/k} - 1}{\tau_{sj} - 1}$$
 (29.38)

Onde:

$$\tau_{sj} = T_{tj}/T_{tj-1} \text{ e } \pi_{sj} = P_{tj}/P_{tj-1}$$
 (29.39)

Se considerarmos os caso especial em que a razão de pressão de cada estágio e o rendimento por estágio são os mesmos, neste caso terá-se:

$$\pi_{c} = \prod_{j=1}^{n} \left(\frac{P_{ij}}{P_{ij-1}} \right) = \pi_{s}^{N}$$
(29.40)

Fazendo várias manipulações obtém-se:

$$\eta_{c} = \frac{\pi_{c}^{(k-1)/k} - 1}{\left[1 + \left(1/\eta_{s}\right)\left(\pi_{c}^{(k-1)/kN} - 1\right)\right]^{N} - 1} \\
= \frac{\pi_{s}^{(k-1)/kN} - 1}{\left[1 + \left(1/\eta_{s}\right)\left(\pi_{s}^{(k-1)/k} - 1\right)\right]^{N} - 1} \tag{29.41}$$

Esta expressão relaciona η_c e η_s para um compressor de N estágios com relações de pressão e rendimentos iguais por estágio.

Eficiência politrópica do compressor

A eficiência politrópica e_c está relacionada com as eficiências já mencionadas e é definida como:

 $e_c = \frac{\text{trabalho ideal de compressão para uma alteração diferencial de pressão}}{\text{trabalho real de compressão para uma alteração diferencial de pressão}}$

Assumindo que a eficiência politrópica e_c seja constante, pode-se obter uma relação simples entre τ_c e π_c da seguinte maneira:

$$\eta_c = \frac{\pi_c^{(k-1)/k} - 1}{\tau_c - 1} = \frac{\pi_c^{(k-1)/k} - 1}{\pi_c^{(k-1)/(k \cdot e_c)} - 1}$$
(29.42)

Relação entre o rendimento do compressor

O η_s se aproxima de e_c , se houver um grande número de estágios e a taxa de pressão por estágio for muito pequena. Fazendo-se várias aproximações chega-se a:

$$\eta_c = \frac{\pi_c^{(k-1)/k} - 1}{\pi_c^{(k-1)/(k \cdot \eta_s)} - 1}$$
(29.43)

Para uma máquina de vários estágios.

Esta expressão é idêntica à da Equação 29.41com e_c substituído por η_s . Assim, para N muito grandes conclui-se que, η_s aproxima-se de e_c .

Rendimento isentrópico da turbina

As turbinas modernas são arrefecidas pelo ar retirado dos compressores, que passa por palhetas e rotores e é misturado com o fluxo principal. Do ponto de vista do fluxo geral, o fluxo é adiabático, mas para se ser mais preciso aplica-se uma análise de fluxos múltiplos. Essa análise é conceptualmente correcta, mas é difícil estimar as várias perdas de fluxo, etc., que ocorrem. O conceito de rendimento isentrópico ainda é utilizado em tais análises (para a corrente principal do fluxo) e, o rendimento isentrópico fornece uma aproximação razoável ao desempenho da turbina quando as taxas de fluxo de arrefecimento são pequenas. Portanto, vai-se considerar apenas o caso adiabático.

29.6.2 Eficiências do Compressor e da Turbina

Em analogia ao rendimento isentrópico do compressor, define-se o rendimento isentrópico da turbina por:

$$\eta_{t} = \frac{\text{trabalho ideal da turbina para um dado } \pi_{t}}{\text{trabalho real da turbina para um dado } \pi_{t}}$$
(29.44)

Escrevendo o rendimento isentrópico da turbina em termos de propriedades termodinâmicas, tem-se:

$$\eta_{t} = \frac{h_{t4} - h_{t5}}{h_{t4} - h_{t5i}} = \frac{T_{t4} - T_{t5}}{T_{t4} - T_{t5i}}$$
(29.45)

Ou

$$\eta_{t} = \frac{1 - \tau_{t}}{1 - \pi_{t}^{(k-1)/k}} \tag{29.46}$$

29.6.2 Eficiências do Compressor e da Turbina

Rendimento do estágio da turbina

Numa análise completamente semelhante à do compressor, o rendimento isentrópico da turbina pode ser escrito em termos de η_{sj} e π_{sj} quando todos os estágios têm os mesmos η_s e τ_s da seguinte forma:

$$\eta_{t} = \frac{1 - \left[1 - \left(1/\eta_{s}\right)\left(1 - \pi_{s}^{(k-1)/k}\right)\right]^{N}}{1 - \pi_{t}^{(k-1)/k}}$$
(29.47)

29.6.2 Eficiências do Compressor e da Turbina

Eficiência Politrópica da turbina

A eficiência da turbina politrópica e_t é definida de maneira semelhante à eficiência isentrópica do compressor, conforme:

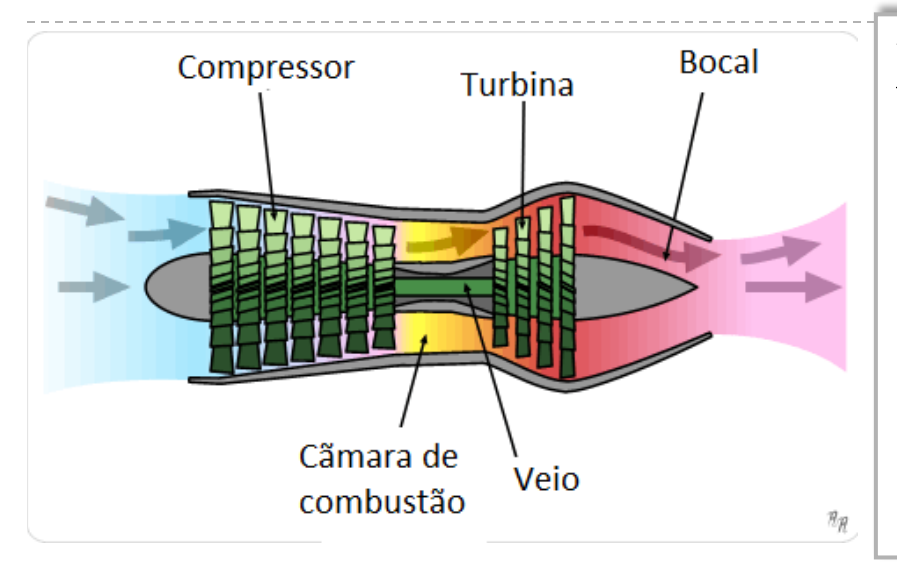
$$e_{t} = \frac{\text{trabalho real da turbina para variações diferencial de pressãao}}{\text{trabalho ideal da turbina para variações diferencial de pressãao}}$$
(29.48)

Assumindo que a eficiência politrópica e_t seja constante para todas as razões de pressão: $\pi = \tau^{k/[(k-1)e_t]}$ (29.49)

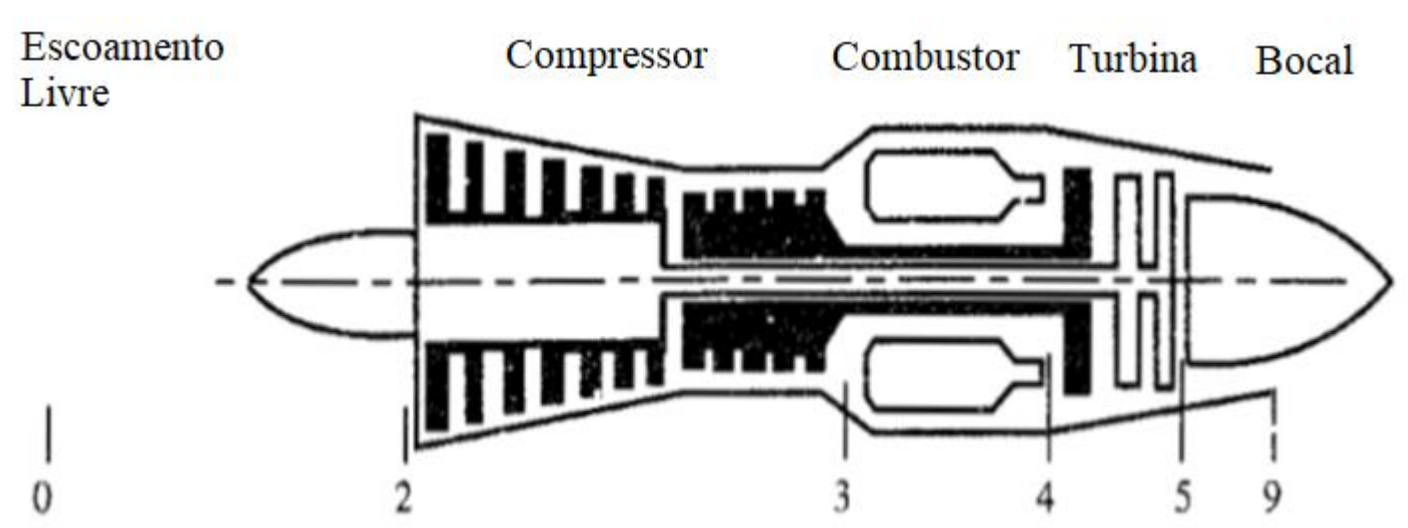
$$\eta_{t} = \frac{1 - \tau_{t}}{1 - \tau_{t}^{1/e_{t}}} \tag{29.50}$$

$$\eta_{t} = \frac{1 - \pi_{t}^{(k-1)/(k \cdot e_{t})}}{1 - \pi_{t}^{(k-1)/k}}$$
(29.51)

Na análise de ciclo τ_t , geralmente é obtido primeiro a partir do balanço de trabalho. Então, π_t pode ser calculado através de um e_t conhecido.



Desenvolve-se agora um sistema de equações para analisar o ciclo do motor turbojacto. As etapas da análise do ciclo são aplicadas ao motor turbojacto e apresentadas como:



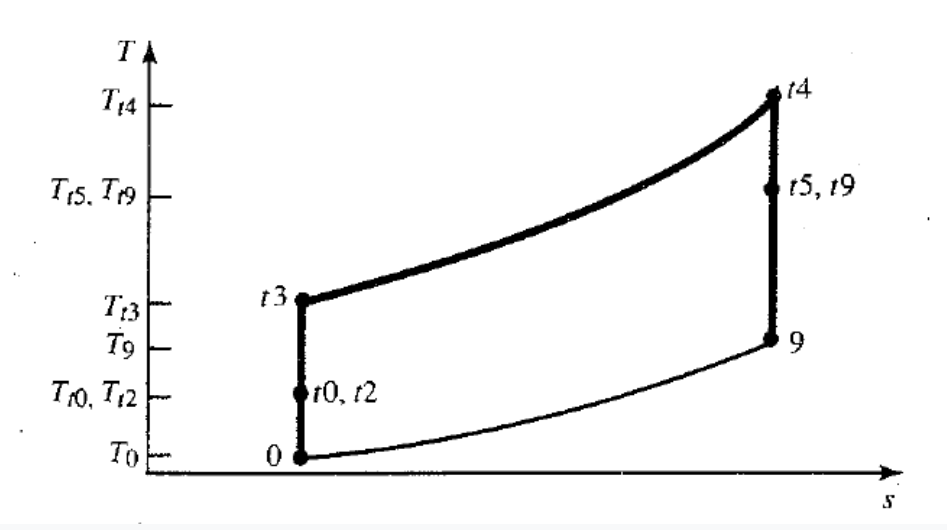


Diagrama T-s de um motor turbojacto ideal

Ponto	Processo	Tipo	ΔTemperatura	Δ Entropia
0	Entrada de ar	_	-	-
0–3	Compressão (entrada +	Isentrópica	↑	=
	compressor)			
3–4	Queima do combustível	Isobárica	$\uparrow \uparrow$	↑
4–9	Expansão (turbina+bocal)	Isentrópica	\	=

1. Constante dos gases no compressor

$$R_c = \frac{k_c - 1}{k} c_{pc} \left[kJ/kg \cdot K \right] \tag{29.52}$$

2. Constante dos gases à saída da turbina

$$R_{t} = \frac{k_{t} - 1}{k_{t}} c_{pt} \left[kJ/kg \cdot K \right] \tag{29.53}$$

3. Velocidade do som

$$a_o = \sqrt{k_c R_c g_c T_o} \left[m/s \right] \tag{29.54}$$

4. Velocidade do ar

$$V_o = a_o M_o \left[m/s \right] \tag{29.55}$$

5. Razão da temperatura total e estática do fluxo livre

$$\tau_r = 1 + \frac{k_c - 1}{2} M_o^2 \tag{29.56}$$

6. Razão da pressão total e estática do fluxo livre

$$\pi_r = \tau_r^{k_c/(k_c - 1)} \tag{29.57}$$

7. Cálculo do rendimento da recuperação da pressão causada pelo atrito da parede

$$\eta_r = 1 \quad \text{para } M_o \le 1$$
 (29.58)

$$\eta_r = 1 - 0.075 (M_o - 1)^{1.35} \text{ para } M_o > 1$$
 (29.59)

8. Razão de pressões no difusor

$$\pi_d = \pi_{d \max} \eta_r \tag{29.60}$$

9. Razão das entalpias à saída do combustor e ambiente

$$\tau_{\lambda} = \frac{c_{pt} T_{t4}}{c_{pc} T_o} \tag{29.61}$$

10. Razão das temperaturas a entrada e saída do compressor

$$\tau_c = \pi_c^{(k_c - 1)/(k_c e_c)} \tag{29.62}$$

11. Rendimento do compressor

$$\eta_c = \frac{\pi_c^{(k_c - 1)/k_c} - 1}{\tau_c - 1} \tag{29.63}$$

12. Relação combustível/Ar

$$f = \frac{\tau_{\lambda} - \tau_r \tau_c}{h_{PR} \eta_b / (c_{pc} T_o) - \tau_{\lambda}}$$
(29.64)

13. Razão das temperaturas na turbina

$$\tau_{t} = 1 - \frac{1}{\eta_{m}(1+f)} \cdot \frac{\tau_{r}}{\tau_{\lambda}} (\tau_{c} - 1) \tag{29.65}$$

14. Razão das pressões na turbina

$$\pi_t = \tau_t^{k_t/\left[(k_t - 1)e_t\right]} \tag{29.66}$$

15. Rendimento da turbina

$$\eta_t = \frac{1 - \tau_t}{1 - \tau^{1/e_t}} \tag{29.67}$$

16. Razão da pressão no Bocal

$$\frac{P_{t9}}{P_9} = \frac{P_o}{P_9} \pi_r \pi_d \pi_c \pi_b \pi_t \pi_n \tag{29.68}$$

17. Número de Mach no Bocal

$$M_9 = \sqrt{\frac{2}{k_t - 1} \left[\left(\frac{P_{t9}}{P_9} \right)^{k_t - 1/k_t} - 1 \right]}$$
 (29.69)

18. Razão entre a temperatura do bocal e do escoamento livre

$$\frac{T_9}{T_o} = \frac{\tau_{\lambda} \tau_t}{(P_{t9}/P_9)^{(k_t-1)/k_t}} \cdot \frac{c_{pc}}{c_{pt}}$$
(29.70)

19. Razão entre a velocidade no bocal e na entrada

$$\frac{V_9}{a_o} = M_9 \sqrt{\frac{k_t R_t T_9}{k_c R_c T_o}} \tag{29.71}$$

20. O impulso específico calcula-se de:

$$\frac{F}{m_o} = \frac{a_o}{g_c} \left[(1+f) \frac{V_9}{a_o} - M_o + (1+f) \frac{R_t T_9 / T_o}{R_c V_9 / a_o} \frac{(1-P_o / P_9)}{k_c} \right] \quad \left[\frac{N}{kg \cdot s} \right]$$
(29.73)

21. O consumo específico de combustível

$$S = \frac{f}{F/\dot{m}_{\circ}} \left[\frac{mg/s}{N} \right] \tag{29.73}$$

22. O rendimento térmico

$$\eta_T = \frac{a_o^2 \left[(1+f)(V_9/a_o)^2 - M_o^2 \right]}{2g_o f h_{PR}} \quad [\%]$$
 (29.74)

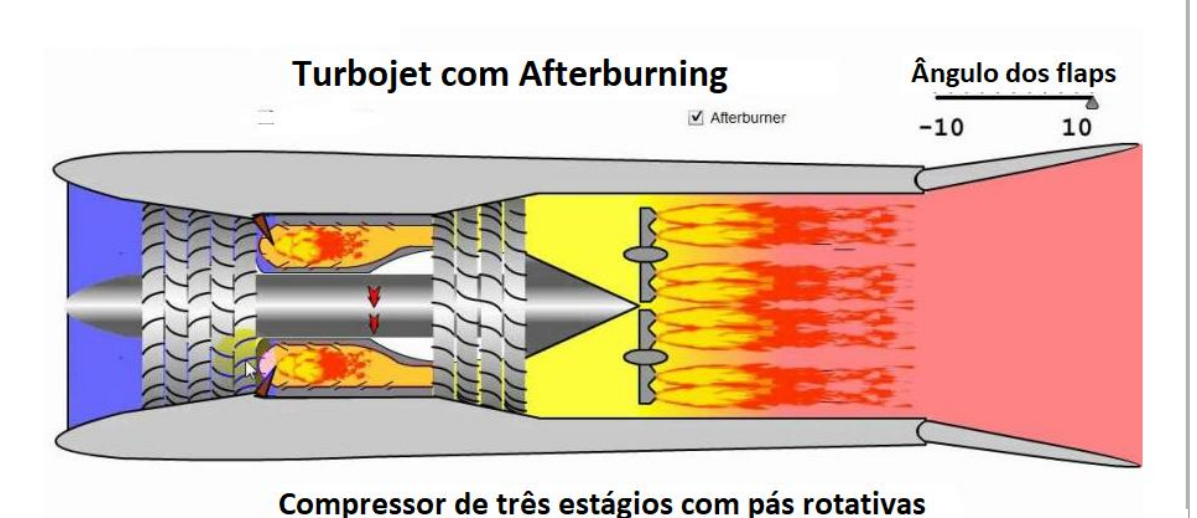
23. O rendimento de propulsão

$$\eta_{P} = \frac{2g_{c}V_{o}(F/\dot{m}_{o})}{a_{o}^{2}\left[(1+f)(V_{9}/a_{o})^{2}-M_{o}^{2}\right]} \quad [\%]$$
(29.75)

24. O rendimento global

$$\eta_o = \eta_P \eta_T \quad [\%] \tag{29.76}$$

Afterburning



Free stream Compressor Combustor Turbine Afterburner Nozzle

Flame holders

A expressão para o empuxo será a mesma que a já obtida para o turbojacto sem póscombustão, exceptuando o facto que os efeitos da adição de combustível no póscombustor devem ser incluídos. A aplicação das etapas da análise do ciclo está listada a seguir.

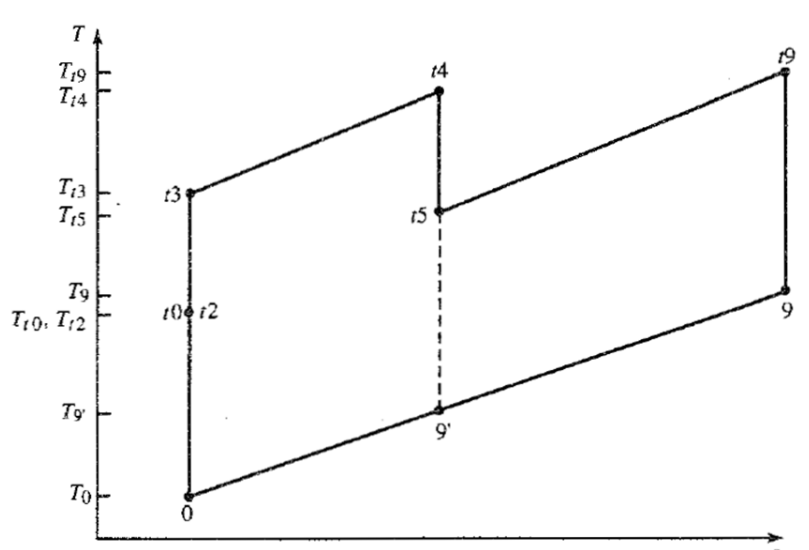


Diagrama T-s para um motor turbojacto ideal com pós-combustão

Ponto	Processo	Tipo	ΔTemperatura	Δ Entropia
0–3	Compressão	Isentrópica	↑	II
3–4	Combustão principal	Isobárica	$\uparrow \uparrow$	↑
4–5	Expansão na turbina	Isentrópica	\	II
5–9'	Pós-combustão	Isobárica	$\uparrow \uparrow$	↑
9'_9	Expansão final no bocal	Isentrópica	→	

1. Constante dos gases à saída de pós-combustor

$$R_{AB} = \frac{k_{AB} - 1}{k_{AB}} c_{pAB} \left[kJ / \cdot kgK \right]$$

$$(29.77)$$

2. Razão da temperatura total e estática do pós-combustor

$$\tau_{\lambda AB} = \frac{c_{pAB}T_{t7}}{c_{pc}T_o} \tag{29.78}$$

3. Relação combustível/Ar no pós-combustor

$$f_{AB} = (1+f) \frac{\tau_{\lambda AB} - \tau_A \tau_t}{\eta_{AB} h_{PR} / (c_{pc} T_o) - \tau_{\lambda AB}}$$

$$(29.79)$$

4. Razão da pressão no pós-combustor

$$\frac{P_{t9}}{P_o} = \frac{P_o}{P_o} \pi_r \pi_d \pi_c \pi_b \pi_t \pi_{AB} \pi_n \tag{29.80}$$

5. Razão entre a temperatura entrada e saída do pós-combustor

$$\frac{T_9}{T_o} = \frac{T_{t7}/T_o}{\left(P_{t9}/P_9\right)^{(k_{AB}-1)/k_{AB}}} \tag{29.81}$$

6. Número de Mach no pós-combustor

$$M_9^2 = \frac{2}{k_{AB} - 1} \left[\left(\frac{P_{t9}}{P_9} \right)^{k_{AB} - 1/k_{AB}} - 1 \right]$$
 (29.82)

7. Razão entre a velocidade na entrada do pós-combustor e o ambiente

$$\frac{V_9}{a_o} = M_9 \sqrt{\frac{k_{AB}R_{AB}T_9}{k_c R_c T_o}}$$
 (29.83)

8. O impulso específico calcula-se de

$$\frac{F}{m_o} = \frac{a_o}{g_c} \left[(1 + f + f_{AB}) \frac{V_9}{a_o} - M_o + (1 + f + f_{AB}) \frac{R_{AB}}{R_c} \frac{T_9/T_o}{V_9/a_o} \frac{(1 - P_o/P_9)}{k_c} \right] \quad \left[\frac{N}{kg \cdot s} \right]$$
(29.84)

9. O consumo específico de combustível

$$S = \frac{f + f_{AB}}{F/\dot{m}_{a}} \left[\frac{mg/s}{N} \right] \tag{29.85}$$

10. O rendimento de propulsão

$$\eta_{P} = \frac{2g_{c}V_{o}(F/\dot{m}_{o})^{2}}{a_{o}^{2}\left[(1+f+f_{AB})(V_{9}/a_{o})^{2}-M_{o}^{2}\right]} [\%]$$
(29.86)

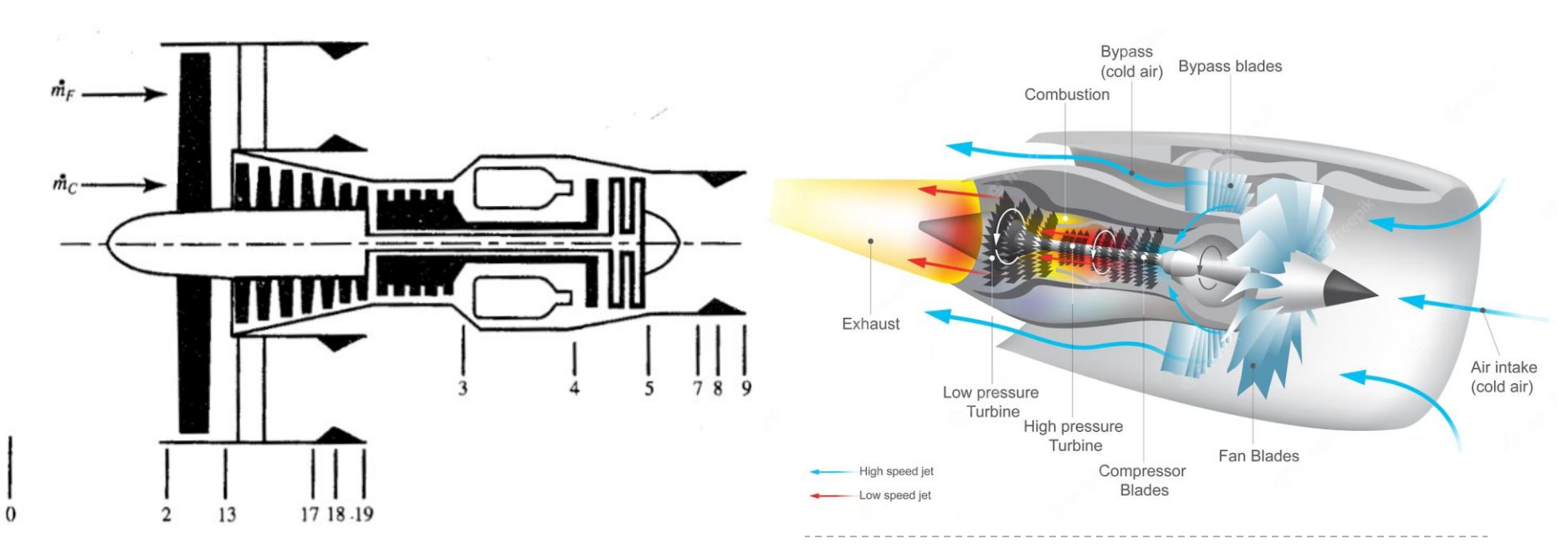
11. O rendimento térmico

$$\eta_T = \frac{a_o^2 \left[(1 + f + f_{AB}) (V_9 / a_o)^2 - M_o^2 \right]}{2g_c (f + f_{AB}) h_{PR}} [\%]$$
(29.87)

12. O rendimento global

$$\eta_o = \eta_P \eta_T \left[\%\right] \tag{29.88}$$

Os motores turbofan usados em aeronaves subsônicas comerciais, geralmente têm dois carretéis e bicos de escape separados, do tipo convergente, conforme mostrado na figura. Um motor turbofan com a numeração dos estágios apresenta-se na figura. A velocidade de saída do fluxo do ventilador e do fluxo do núcleo do motor é reduzida pelas perdas do motor.



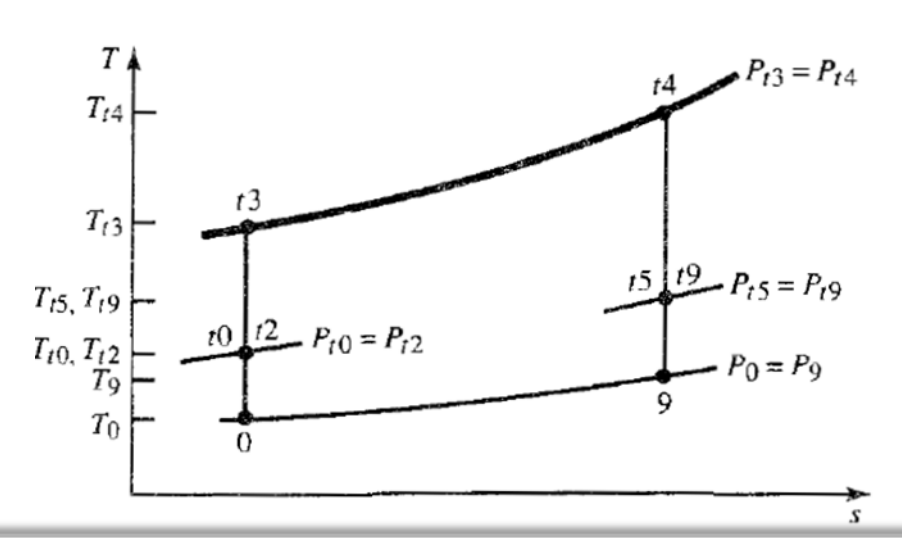


Diagrama T-s para o fluxo principal de um motor turbofan ideal

Ponto	Processo	Tipo	ΔTemperatura	Δ Entropia
0–3	Compressão	Isentrópica	↑	=
	(fan+compressor)			
3–4	Combustão	Isobárica	$\uparrow \uparrow$	↑
4–5	Expansão na turbina	Isentrópica	\downarrow	=
5–9	Expansão no bocal	Isentrópica		=

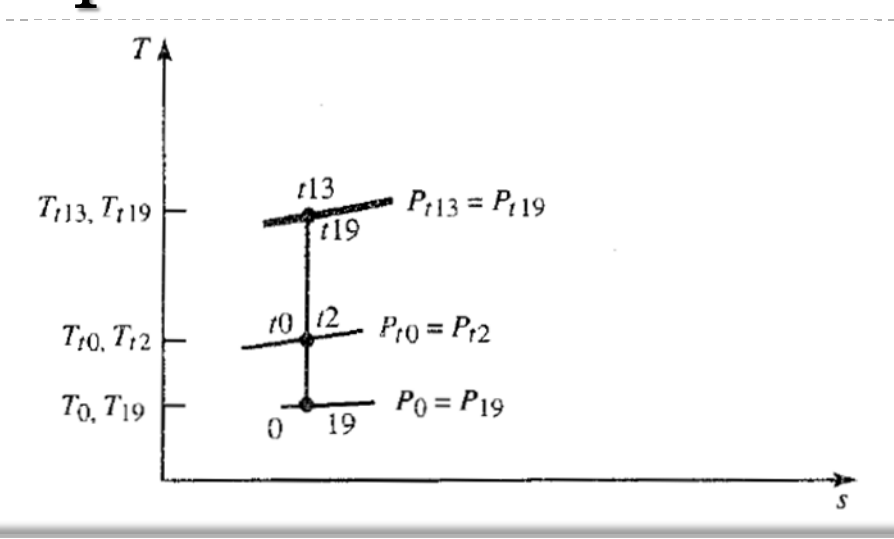


Diagrama T-s para fluxo do ventilador de motor turbofan ideal

Ponto	Processo	Tipo	ΔTemperatura	Δ Entropia
0–2	Compressão no	Isentrópica	↑	=
	ventilador			
2–13	Reaquecimento no	Isobárica	↑	↑
	bypass			
13–19	Expansão no bocal	Isentrópica	<u> </u>	=

1. Constante dos gases no compressor

$$R_c = \frac{k_c - 1}{k} c_{pc} \left[kJ/kg \cdot K \right] \tag{29.89}$$

2. Constante dos gases à saída da turbina

$$R_{t} = \frac{k_{t} - 1}{k_{t}} c_{pt} \left[kJ/kg \cdot K \right] \tag{29.90}$$

3. Velocidade do som

$$a_o = \sqrt{k_c R_c g_c T_o} \left[m/s \right] \tag{29.91}$$

4. Velocidade do ar

$$V_o = a_o M_o \left[m/s \right] \tag{29.92}$$

5. Razão da temperatura total e estática do fluxo livre

$$\tau_r = 1 + \frac{k_c - 1}{2} M_o^2 \tag{29.93}$$

6. Razão da pressão total e estática do fluxo livre

$$\pi_r = \tau_r^{k_c/(k_c - \hat{\mathbf{1}})} \tag{29.94}$$

7. Cálculo do rendimento da recuperação da pressão causada pelo atrito da parede

$$\eta_r = 1 \quad \text{para } M_o \le 1$$

$$\eta_r = 1 - 0.075 (M_o - 1)^{1.35} \text{ para } M_o > 1$$
(29.95)

8. Razão de pressões no difusor

$$\pi_d = \pi_{d \max} \eta_r \tag{29.96}$$

9. Razão das entalpias à saída do combustor e ambiente

$$\tau_{\lambda} = \frac{c_{pt} T_{t4}}{c_{pc} T_o} \tag{29.97}$$

10. Razão das temperaturas a entrada e saída do compressor

$$\tau_c = \pi_c^{(k_c - 1)/(k_c e_c)} \tag{29.98}$$

11. Rendimento do compressor

$$\eta_c = \frac{\pi_c^{(k_c - 1)/k_c} - 1}{\tau_c - 1} \tag{29.99}$$

12. Relação combustível/Ar

$$f = \frac{\tau_{\lambda} - \tau_r \tau_c}{h_{PR} \eta_b / (c_{pc} T_o) - \tau_{\lambda}}$$
(29.100)

13. Razão das temperaturas na turbina

$$\tau_{t} = 1 - \frac{1}{\eta_{m}(1+f)} \cdot \frac{\tau_{r}}{\tau_{\lambda}} \left[\tau_{c} - 1 + \alpha \left(\tau_{f} - 1\right) \right]$$
(29.101)

14. Razão das pressões na turbina

$$\pi_{t} = au_{t}^{k_{t}/\left[\left(k_{t}-1
ight)e_{t}
ight]}$$

(29.102)

15. Rendimento da turbina

$$\eta_t = \frac{1 - \tau_t}{1 - \tau_t^{1/e_t}}$$

(29.103)

(29.104)

16. Razão da pressão no Bocal

$$\frac{P_{t9}}{P_{0}} = \frac{P_{o}}{P_{0}} \pi_{r} \pi_{d} \pi_{c} \pi_{b} \pi_{t} \pi_{n}$$
(29.105)

17. Número de Mach no Bocal

$$M_9 = \sqrt{\frac{2}{k_t - 1} \left[\left(\frac{P_{t9}}{P_9} \right)^{k_t - 1/k_t} - 1 \right]}$$
 (29.106)

18. Razão entre a temperatura do bocal e do escoamento livre

$$\frac{T_9}{T_o} = \frac{\tau_{\lambda} \tau_t}{\left(P_{t9}/P_9\right)^{(k_t-1)/k_t}} \cdot \frac{c_{pc}}{c_{pt}}$$
(29.107)

19. Razão entre a velocidade no bocal e na entrada

$$\frac{V_9}{a_o} = M_9 \sqrt{\frac{k_t R_t T_9}{k_c R_c T_o}} \tag{29.108}$$

20. Razão da pressão no Ventilador

$$\frac{P_{t19}}{P_{10}} = \frac{P_o}{P_{10}} \pi_r \pi_d \pi_f \pi_{fn} \tag{29.109}$$

21. Número de Mach no Ventilador

$$M_{19} = \sqrt{\frac{2}{k_t - 1} \left[\left(\frac{P_{t19}}{P_{19}} \right)^{k_t - 1/k_t} - 1 \right]}$$
 (29.110)

22. Razão das temperaturas a entrada e saída do ventilador

$$\frac{T_{19}}{T_o} = \frac{\tau_r \tau_f}{\left(P_{t19}/P_{19}\right)^{(k_c-1)/k_c}} \tag{29.111}$$

23. Razão entre a velocidade no ventilador e na entrada

$$\frac{V_{19}}{a_o} = M_{19} \sqrt{\frac{T_{19}}{T_o}} \tag{29.112}$$

24. O impulso específico calcula-se de:

$$\frac{F}{\dot{m}_{o}} = \frac{1}{1+\alpha} \frac{a_{o}}{g_{c}} \left[(1+f) \frac{V_{9}}{a_{o}} - M_{o} + (1+f) \frac{R_{c}T_{9}/T_{o}}{R_{c}V_{9}/a_{o}} \frac{(1-P_{o}/P_{19})}{k_{c}} \right] \left[\frac{N}{kg \cdot s} \right]$$
(29.113)

25. O consumo específico de combustível

$$S = \frac{f}{(1+\alpha)F/m_o} \left[\frac{mg/s}{N} \right] \tag{29.114}$$

26. A razão de empuxo

$$FR = \frac{(1+f)\frac{V_9}{a_o} - M_o + (1+f)\frac{R_t T_9/T_o}{R_c V_9/a_o} \frac{(1-P_o/P_9)}{k_c}}{\frac{V_{19}}{a_o} - M_o + \frac{T_{19}/T_o}{V_{19}/a_o} \frac{(1-P_o/P_{19})}{k_c}}$$

27. O rendimento térmico

$$\eta_{T} = \frac{a_{o}^{2} \left[(1+f) (V_{9}/a_{o})^{2} + \alpha (V_{19}/a_{o})^{2} - (1-\alpha) M_{o}^{2} \right]}{2g_{c} f h_{PR}} [\%]$$
(29.116)

28. O rendimento de propulsão

$$\eta_{P} = \frac{2M_{o} \left[(1+f)V_{9}/a_{o} + \alpha (V_{19}/a_{o}) - (1+\alpha)M_{o} \right]}{a_{o}^{2} \left[(1+f)(V_{9}/a_{o})^{2} + \alpha (V_{19}/a_{o})^{2} - (1+\alpha)M_{o}^{2} \right]} [\%]$$
(29.117)

29. O rendimento global

$$\eta_o = \eta_P \eta_T \left[\%\right] \tag{29.118}$$

Lista de Símbolos (I)

- a velocidade do som (m/s)
- e eficiência politrópica;
- f relação combustível/ar
- FR razão de empuxo
- g aceleração da gravidade (m/s²)
- \triangleright g_c constante de Newton (I)
- ▶ h_{PR} Poder calorífico inferior do combustível (kJ/kg)
- M número Mach
- R constante do gás
- R₁₁ constante universal dos gases

Lista de Símbolos (II)

- S consumo específico de combustível do impulso não instalado (mg/s)/N
- τ razão de temperaturas
- τ_{λ} razão de entalpias
- π razão de pressões

Lista de Símbolos (III)

Subscritos

- ▶ AB pós-combustor
- b queimador ou combustor
- c compressor
- d difusor ou entrada
- f ventilador; combustível
- fn bico do ventilador
- i inicial
- int interno
- j jet
- ▶ n bocal
- ▶ o global ou total
- s estágio
- t turbina